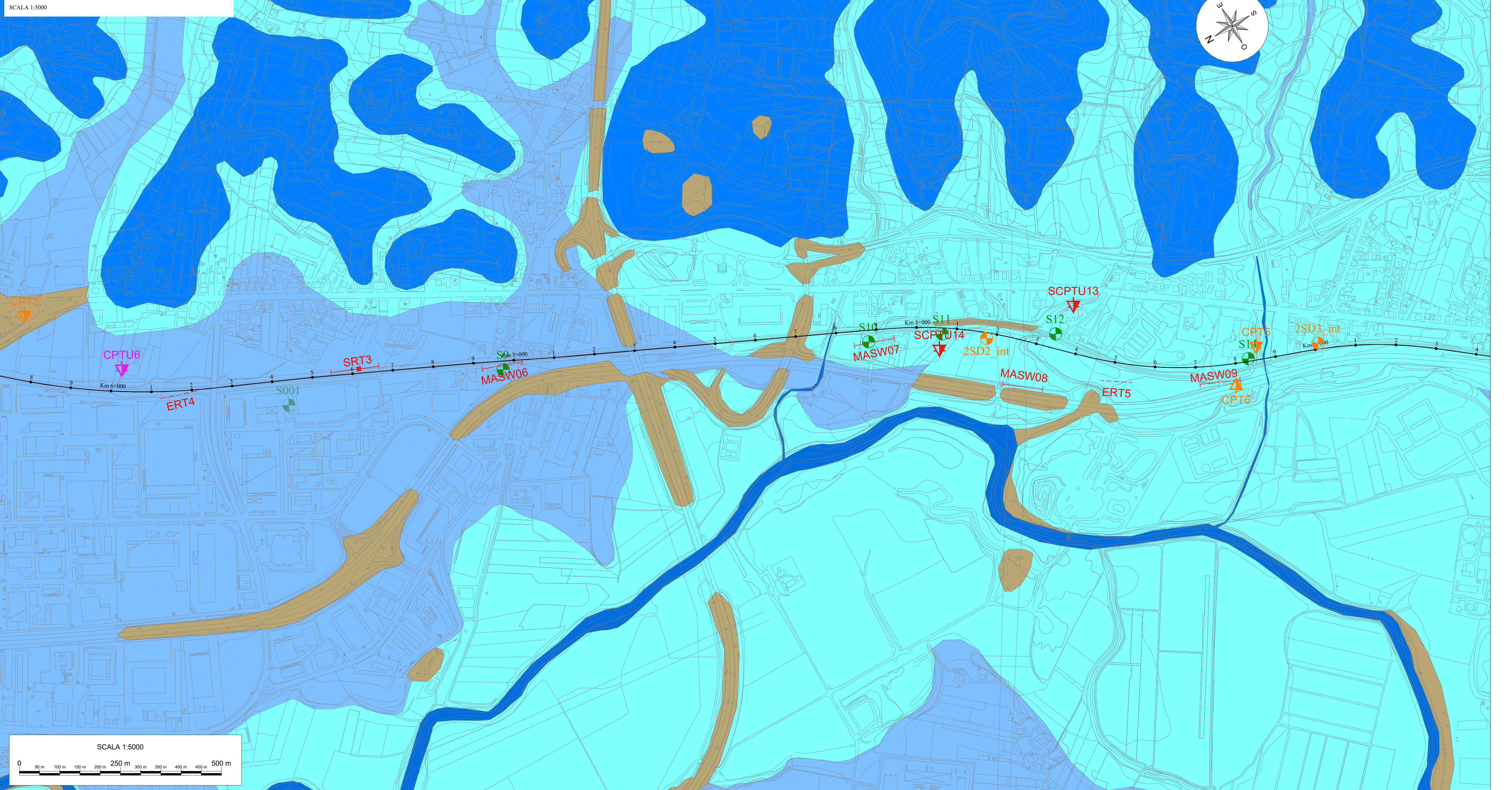


# CARTA GEOLOGICA - 1 di 2



# LEGENDA

## COMPLESSI IDROGEOLOGICI



Riparo

**Complesso ghiaioso-sabbioso**  
Gliaie poligoniche ed estremistiche, da sub-arrondite, argille arricciate, in massi sabbiosi e sabbioso-impasto, da scarsa ad abbondante, a luoghi si rinvengono passaggi di sabbie, sabbie finose e faioli sabbiosi, a stratificazione indistinta o incrociata, con alcune aree di leggera lateritizzazione. Esempi di gliaie poligoniche da sub-arronditate ad arrotondate.

Costituiscono acqueiferi poveri di buona trasmissività, piuttosto eogenerei ed anisotropi; sono sede di frane dirette soluzionali di superficie e/o con quelli sotterranei delle strutture idrogeologiche limitrofe. La permeabilità, esclusivamente per porosità, è variabile, è variabile da media ad alta.

Questa unità è costituita dalla liofisi ghiaioso-sabbiosa dei depositi alluvionali terrazzati appartenenti alle unità ba1, ba2, ALT1a, ALT1a, ALT1a, ALT1a e ALT1c.

Questa unità è costituita dalla liofisi ghiaioso-sabbiosa dei depositi alluvionali terrazzati appartenenti alle unità ba1, ba2, ALT1a, ALT1a, ALT1a, ALT1a e ALT1c.

Coeficiente di permeabilità è variabile tra 1.10-6 e 1.10-3 m/s.

**Complesso limoso-sabbioso**

Limoso-sabbioso, a stratificazione indistinta o incrociata. Costituiscono acqueiferi poveri di disponibilità idrica, stenogeni ed anisotropi; sono sede di frane dirette soluzionali di modesta dimensione, localizzate nelle aree di gliaie poligoniche da sub-arronditate a debole smacco, che possono avere interconnessi con i corpi idrici superficiali e/o con quelli sotterranei delle strutture idrogeologiche limitrofe. La permeabilità, esclusivamente per porosità, è variabile da media a bassa.

Questa unità è costituita dalla liofisi ghiaioso-sabbiosa dei depositi alluvionali terrazzati appartenenti alle unità ba1, ba2, ALT1a, ALT1a, ALT1a, ALT1a e ALT1c.

Coeficiente di permeabilità è variabile tra 1.10-6 e 1.10-5 m/s.

**Complesso argilloso-argilloso**

Argille, argille limose, lima argilosa, argille sabbiose e limi argillo-sabbiosi, a struttura indistinta o lomata, con abbondante sostanza organica e locali gliaie poligoniche da sub-arronditate ad arrotondate, a luoghi si rinvengono passaggi di limi, limi sabbiosi e limi argillo-sabbiosi, a struttura indistinta, con locali frammenti di foglie e radici, a luoghi si rinvengono passaggi di argille limose e limi argillo-sabbiosi, a struttura indistinta o lomata, con locali gliaie poligoniche da sub-arronditate ad arrotondate.

Costituiscono limiti di permeabilità per gli acqueiferi giacenti verticalmente o lateralmente e, nello specifico contesto idrogeologico, per le acque sorgive e per le acque sotterranee, impinguando le acque sotterranee con maggiore resistenza, generalmente rappresentati da orizzonti discontinui e di esigua potenza, non sono presenti falda e corpi idrici sotterranei di una certa rilevanza. La permeabilità, esclusivamente per porosità, è variabile da molto bassa a bassa.

Questa unità è costituita dalla liofisi argilloso-argilloso, con abbondante sostanza organica e locali gliaie poligoniche da sub-arronditate ad arrotondate.

Coeficiente di permeabilità è variabile tra 1.10-6 e 1.10-6 m/s.

**Complesso argilloso-marnoso**

Argille e argille dolomitemarne, con abbondante sostanza organica e locali gliaie poligoniche da sub-arronditate ad arrotondate; a luoghi si rinvengono passaggi di limi, limi sabbiosi.

Costituiscono limiti di permeabilità per gli acqueiferi giacenti verticalmente o lateralmente e, nello specifico contesto idrogeologico, per le acque sorgive e per le acque sotterranee, impinguando le acque sotterranee con maggiore resistenza, generalmente rappresentati da orizzonti discontinui e di esigua potenza, non sono presenti falda e corpi idrici sotterranei di una certa rilevanza. La permeabilità, esclusivamente per porosità, è variabile da molto bassa a bassa.

Questa unità è costituita dalla liofisi argilloso-marnoso marne, con abbondante sostanza organica e locali gliaie poligoniche da sub-arronditate ad arrotondate.

Coeficiente di permeabilità è variabile tra 1.10-9 e 1.10-8 m/s.

## SIMBOLOGIA PROFILO

	Livello fiume interpretato
	Piano di campagna
	Limiti strategici (strade e limiti desunti)
	Sondaggi e prove CPTU/SCPTU
	Livello di fiume

## SIMBOLOGIA PLANIMETRIA

	Corso d'acqua
	Contatto stratografico (strataggio desunto)
	Asse linea F.S. RO-PE
	Livello di fiume

## INDAGINI GEOGNOSTICHE

### Indagini Italfer 2018 - sondaggi e penetrometriche

Sondaggio stratografico a carteggio continuo

Sondaggio stratografico a carteggio continuo, con installazione di piezometro Notton 2.5°

Prove penetrometriche statiche con piccone CPTU

Prove penetrometriche tipo DPSH

### Indagini Italfer 2020 - sondaggi e penetrometriche

Sondaggio stratografico a carteggio continuo, con installazione di piezometro Casagrande

Prova penetrometrica statica con piccone CPTU

Prova penetrometrica tipo DPSH

### Indagini 2018 - geofisica

Prove penetrometriche statiche con sismometro SCPTU

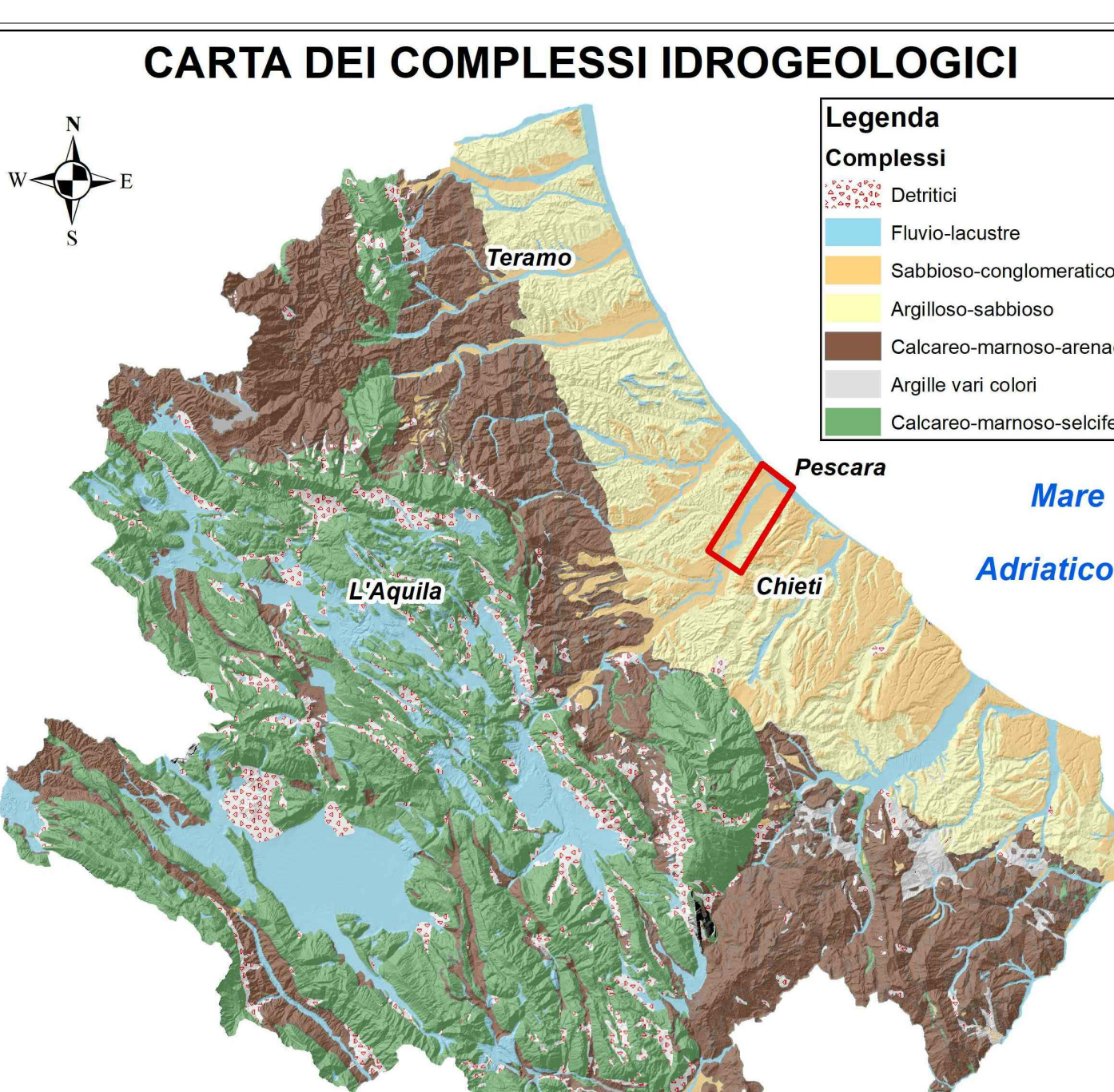
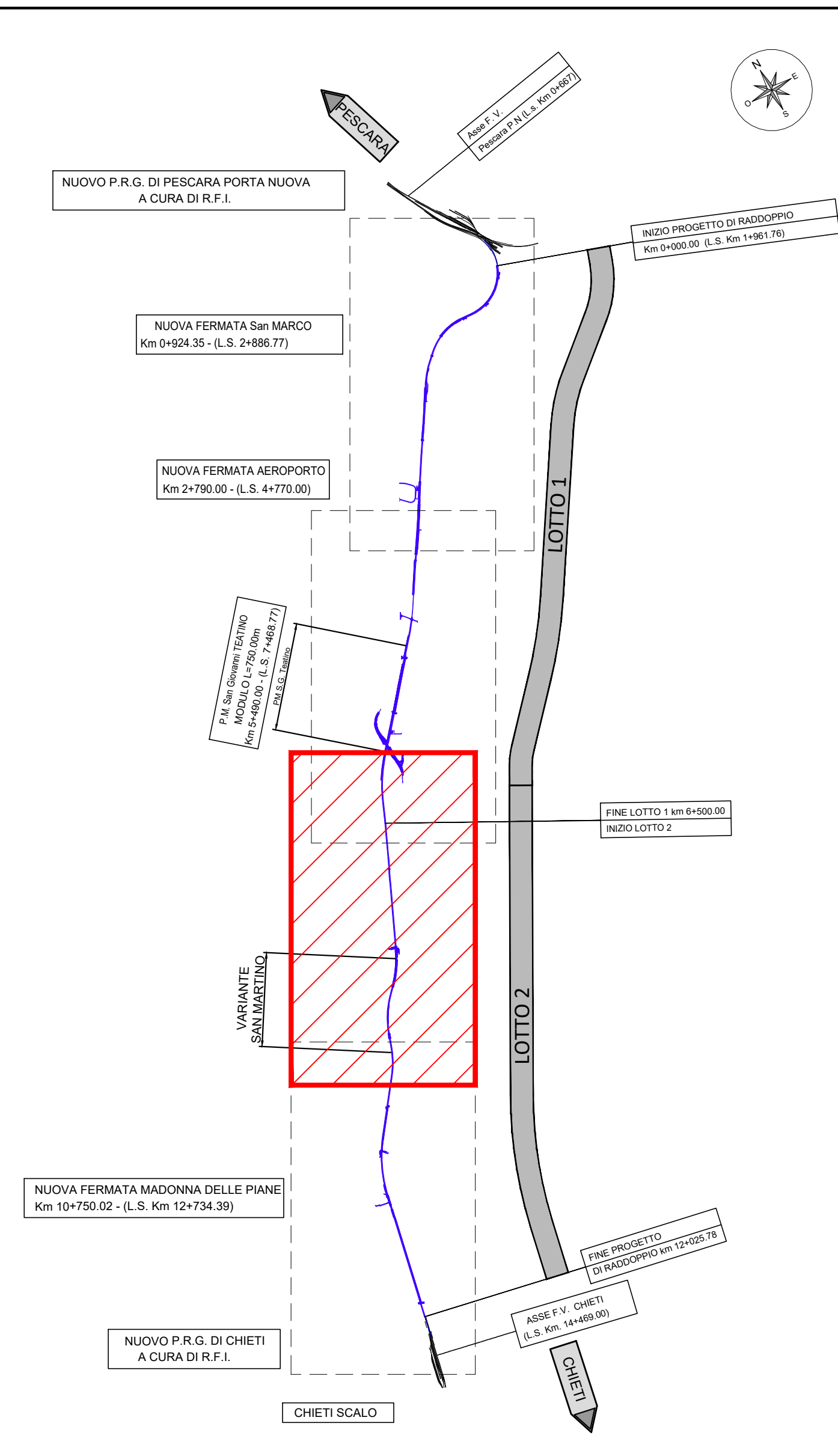
Prova sismica tipo MASW

Prova sismica tipo ERT

Prova sismica tipo SRT

### Indagini pregresse (da bibliografia)

Sondaggio stratografico a carteggio continuo



## DIREZIONE TECNICA U.O. GEOLOGIA TECNICA, DELL'AMBIENTE E DEL TERRITORIO

### PROGETTO DEFINITIVO

#### VELOCIZZAZIONE DELLA LINEA ROMA - PESCARA RADDOPPIO FERROVIARIO TRATTA PESCARA PORTA NUOVA - CHIETI

#### Carta dei complessi idrogeologici e profilo idrogeologico Tav. 1/2

Progetto di fattibilità tecnica ed economica da sottoporre all'esame del CSSLPP, ai sensi del DL 16 luglio 2020 n. 76, convertito con legge n. 120/2020. "Misure urgenti per la semplificazione e l'innovazione digitale".

Scala: 1:5000/500

COMMESSA	LOTTO	FASE	ENTE	TIPO DOC	OPERA/DISCIPLINA	PROGR.	REV.
IA4S	02	D	69	N5	GE002	001	B
Revis.	Descrizione	Redatto	Data	Verificato	Data	Approvato	Data
A	Emissione Esecutiva	F. Bianchi	14.06.2019	M. Scaramella	14.06.2019	T. Pacetti	14.06.2019
B	Emissione definitiva a seguito di aggiornamenti	M. Scaramella	Feb. 2021	M. Scaramella	Feb. 2021	T. Pacetti	Feb. 2021
C							
D							

File: IA4S 02 D 69 N5 GE002 001 B

n. Elab.: 3-18

